

КРАТКИЕ СООБЩЕНИЯ

УДК 54.057:548.736.5:546.662

КРИСТАЛЛИЧЕСКАЯ СТРУКТУРА НОВОГО БИЯДЕРНОГО КОМПЛЕКСА МОНОГИДРАТА
bis(2,4,6,8-ТЕТРАМЕТИЛ-2,4,6,8-ТЕТРААЗАБИЦИКЛО(3.3.0)ОКТАН-3,7-ДИОН-*O,O'*)-ДИАКВА-
гексакис(НИТРАТО-*O,O'*)-ДИГАДОЛИНИЯ(III)

Е. Е. Нетреба¹, Н. В. Сомов²

¹Таврическая академия Крымского федерального университета им. В.И. Вернадского, Симферополь, Россия
E-mail: evgtnu@gmail.com

²Нижегородский государственный университет им. Н.И. Лобачевского, Нижний Новгород, Россия

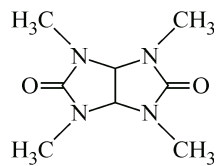
Статья поступила 14 ноября 2016 г.

Синтезирован центросимметричный биядерный комплекс нитрата гадолиния(III) с бициклической бисмочевиной — 2,4,6,8-тетраметил-2,4,6,8-тетраазабицикло(3.3.0)октан-3,7-дионом или мебикаром (Mk) — $[Gd(C_8H_{14}N_4O_2)(H_2O)(NO_3)_3]_2 \cdot H_2O$ (**I**) и определена его атомная структура (CIF file CCDC № 1450653). Кристаллы **I** моноклинные: пр. гр. $P2_1/c$, $a = 10,3861(2)$, $b = 10,80470(10)$, $c = 21,2707(4)$ Å, $\beta = 128,413(3)^\circ$, $V = 1870,32$ Å³, $\rho(\text{выч.}) = 2,05094$ г/см³, $Z = 2$. Атом гадолиния заселяет общую позицию и координирован двумя атомами кислорода двух молекул Mk, связанных операцией центра симметрии, тремя бидентатными нитрат-анионами и молекулой воды. Координационный полиздр атома гадолиния является девятивершинником, представленным искаженной трехшапочной тригональной призмой, расстояние Gd···Gd в комплексе составляет 6,8697(4) Å.

DOI: 10.15372/JSC20170432

Ключевые слова: бициклические бисмочевины, мебикар, гадолиний(III), структура, девятивершинник, ИК, РСА.

Координационные соединения с симметричными мостиковыми лигандами, относящимися к бициклическим бисмочевинам октанового ряда, на данный момент времени мало изучены. Один из таких лигандов — 2,4,6,8-тетраметил-2,4,6,8-тетраазабицикло(3.3.0)октан-3,7-дион или мебикар ($C_8H_{14}N_4O_2$, Mk):



Данное вещество как предшественник мочевины обладает рядом ценных биологических свойств: регулирует измененный ночной сон, не обладая прямым снотворным эффектом, не имеет холинолитического и миорелаксантного действия, не влияет на координацию движений, а также ослабляет никотиновую абстиненцию [1—3], улучшает кислородное снабжение тканей миокарда; регулирует электролитный баланс плазмы, содержание калия в крови, эритроцитах и тканях миокарда; помогает усилиению синтеза белков и повышению энергоресурсов клеток [4—6].

Ранее были получены и описаны некоторые комплексы мебикара: $[\text{Co}(\text{Mk})_2(\text{H}_2\text{O})_2\text{Br}_2] \cdot 2\text{H}_2\text{O}$, $[\text{Ni}(\text{Mk})_2(\text{H}_2\text{O})_2\text{Br}_2]$, $[\text{NiMk}(\text{H}_2\text{O})_4](\text{NO}_3)_2$, и $[\text{Cu}_2(\text{Mk})_3\text{Br}_4] \cdot 2\text{H}_2\text{O}$, $\text{CdCl}_2 \cdot \text{Mk} \cdot 3\text{H}_2\text{O}$, $\text{CaCl}_2 \cdot 2\text{Mk} \cdot \text{H}_2\text{O}$, $\text{Co}(\text{NO}_3)_2 \cdot 2\text{Mk} \cdot 4\text{H}_2\text{O}$, $\text{Ni}(\text{NO}_3)_2 \cdot \text{Mk} \cdot 4\text{H}_2\text{O}$, $\text{CdX}_2 \cdot \text{Mk}$ ($\text{X} = \text{Br}, \text{I}, \text{NCS}$), $\text{Cd}(\text{NO}_3)_2 \cdot 1,5\text{Mk} \cdot \text{H}_2\text{O}$, $\text{ZnCl}_2 \cdot \text{Mk}$, $\text{ZnI}_2 \cdot \text{Mk}$, $\text{Ca}(\text{NO}_3)_2 \cdot 2\text{Mk}$, $\text{Cu}(\text{NO}_3)_2 \cdot 0,5\text{Mk}$, $[\text{Li}_2(\text{Mk})_2(\text{H}_2\text{O})_4]\text{Br}_2$ [7—10]. Полученные соединения охарактеризованы данными элементного анализа, ИК и КР спектроскопии, некоторые с помощью РСА. Было показано, что Мк координируется к металлам через атомы кислорода мочевинных фрагментов, что подтверждалось понижением частоты амид-І и повышением частоты деформационных колебаний метиламинных групп. Большинство описанных комплексов не содержат структурных данных из-за затруднительного их синтеза и получения монокристаллических образцов, пригодных для РСА.

По составу и строению в молекуле Мк содержится 6 гетероатомов, лиганд является амбидентатным и симметричным по строению. Поэтому получение и изучения координационных соединений данного лиганда позволит более полно выяснить химизм его взаимодействия с ионами металлов различной природы, его координирующие особенности, а также получить вещества с новыми ценностями свойствами для различных сфер.

Цель настоящей работы — получение координационного соединения нитрата гадолиния(ІІІ) — жесткой кислоты Льюиса — с молекулами мебикара и воды $[\text{Gd}(\text{C}_8\text{H}_{14}\text{N}_4\text{O}_2)(\text{H}_2\text{O})(\text{NO}_3)_3]_2 \cdot \text{H}_2\text{O}$ (**I**) и определение его структуры.

Экспериментальная часть. В работе использовали $\text{Gd}(\text{NO}_3)_3 \cdot 6\text{H}_2\text{O}$ (ХЧ), Мк, полученный по методикам [11, 12], и ацетон (ОсЧ).

Синтез I. Навеску нитрата гадолиния растворяли в ацетоне, затем вносили мебикар в мольном соотношении 1:0,8 и 5—10 мин перемешивали на магнитной мешалке. Полученный раствор фильтровали и оставляли на несколько суток для формирования кристаллов в закрытом сосуде. Выделившиеся кристаллы белого цвета отфильтровывали, промывали ацетоном и сушили на воздухе. Выход ~84 % (по лиганду). Комплекс **I** устойчив на воздухе.

Элементный анализ. Определение содержания С, Н, N в **I** проводили на элементном анализаторе EA-3000 фирмы EuroVector (Италия). Найдено, %: С 16,53, Н 3,08, N 16,96. Для $\text{C}_{16}\text{H}_{36}\text{N}_{14}\text{O}_{26}\text{Gd}_2$ вычислено, %: С 16,64, Н 3,14, N 16,98.

ИКС. Спектры мебикара и **I** регистрировали на ИК—Фурье спектрометре Bruker Vertex 70 с приставкой НПВО на кристалле алмаза (разрешение 4 см^{-1} , 20 сканов, диапазон 350—4500 cm^{-1}).

В ИК спектрах **I** и мебикара наблюдаются следующие характеристические полосы ($\nu, \text{ см}^{-1}$): для Мк — 2926, 2884, 2831, 2804 (CH_3, CH_2); 1701 (C=O , амид І); 1454, 1367 (C—N); для **I** — 3528, 3429, 3161 (H_2O); 2926, 2889 (CH_3, CH_2); 1649 (C=O , амид І); 1472, 1369 (C—N); 1549, 1285, 1026, 824 (NO_3).

РСА. Экспериментальный материал для кристалла **I** получен на автоматическом дифрактометре Oxford Diffraction Gemini S с CCD детектором Sapphire III (MoK_α -излучение, $\lambda = 0,71073 \text{ \AA}$) при 293(2) К. Структура расшифрована прямым методом в комплексе программ SHELX [13] с использованием интегрированной системы WINGX [14]. Начальные положения атомов водорода были найдены из разностного синтеза электронной плотности. Структура уточнена полнотричным МНК в анизотропном приближении для неводородных атомов по F^2 , на значения некоторых параметров атомов водорода накладывались ограничения.

Основные характеристики эксперимента и параметры элементарной ячейки **I**: габитус монокристалла призматический; размер $0,37 \times 0,26 \times 0,15$ мм; моноклинная сингония, пр. гр. $P2_1/c$; $M = 1155,09$; параметры ячейки: $a = 10,3861(2)$, $b = 10,8047(1)$, $c = 21,2707(4) \text{ \AA}$, $\beta = 128,413(3)^\circ$, $V = 1870,32(8) \text{ \AA}^3$, $Z = 2$; $\rho(\text{выч.}) = 2,05094 \text{ г}/\text{см}^3$; $\mu(\text{MoK}_\alpha) = 3,628 \text{ мм}^{-1}$; $F(000) = 1132$; область углов съемки θ : $3,444$ — $33,052^\circ$; интервалы индексов отражений: $-15 \leq h \leq 15$, $-15 \leq k \leq 16$, $-32 \leq l \leq 31$; число измеренных рефлексов 36780; число независимых рефлексов 6565 ($R_{\text{int}} = 0,0198$); число рефлексов с $I > 2\sigma(I)$ 6269; число уточняемых параметров 332; число ограничий 3; R -фактор $I > 2\sigma(I)$: $R_1 = 0,019$ ($wR_2 = 0,0421$); R -фактор по всем отражениям: $R_1 = 0,0207$ ($wR_2 = 0,0426$); GOOF по F^2 1,27; $\Delta\rho_{\text{max}}$ и $\Delta\rho_{\text{min}}$, 0,796 и $-0,687 \text{ е}/\text{\AA}^3$. Некоторые длины связей и углы в структуре **I** представлены в табл. 1.

Таблица 1

Некоторые длины связей d (Å) и валентные углы ω (град.) в структуре I*

Угол	ω	Угол	ω	Связь	d
O(1)—Gd(1)—O(2) ⁱ	152,53(5)	O(9)—Gd(1)—O(5)	144,63(6)	O(1)—Gd(1)	2,3345(12)
O(1)—Gd(1)—O(12w)	83,00(5)	O(6)—Gd(1)—O(5)	81,03(6)	O(2)—Gd(1) ⁱ	2,3389(12)
O(2) ⁱ —Gd(1)—O(12w)	83,81(5)	O(1)—Gd(1)—O(10)	76,98(5)	O(3)—Gd(1)	2,5271(13)
O(1)—Gd(1)—O(9)	128,02(5)	O(2) ⁱ —Gd(1)—O(10)	122,55(5)	O(5)—Gd(1)	2,4695(15)
O(2) ⁱ —Gd(1)—O(9)	74,11(5)	O(12w)—Gd(1)—O(10)	75,75(6)	O(6)—Gd(1)	2,4686(15)
O(12w)—Gd(1)—O(9)	84,01(6)	O(1)—Gd(1)—O(8)	121,80(5)	O(8)—Gd(1)	2,4974(15)
O(1)—Gd(1)—O(6)	74,38(5)	O(2) ⁱ —Gd(1)—O(8)	75,68(5)	O(9)—Gd(1)	2,4600(15)
O(2) ⁱ —Gd(1)—O(6)	126,49(5)	O(12w)—Gd(1)—O(8)	154,57(5)	O(10)—Gd(1)	2,4962(15)
O(12w)—Gd(1)—O(6)	146,39(6)	O(9)—Gd(1)—O(8)	76,09(6)	O(12w)—Gd(1)	2,3671(14)
O(1)—Gd(1)—O(5)	82,80(5)	O(6)—Gd(1)—O(8)	50,81(5)	Gd(1)—O(2) ⁱ	2,3389(12)
O(2) ⁱ —Gd(1)—O(5)	83,48(5)	O(5)—Gd(1)—O(8)	72,01(6)		
O(12w)—Gd(1)—O(5)	120,86(5)	O(10)—Gd(1)—O(8)	102,71(6)		
O(1)—Gd(1)—O(3)	77,42(5)	O(10)—Gd(1)—O(3)	139,02(5)		
O(12)—Gd(1)—O(3)	69,81(5)	O(8)—Gd(1)—O(3)	117,94(5)		

* Операция симметрии: ⁱ 1- x , 1- y , 1- z .

Результаты РСА I депонированы в Кембриджский банк структурных данных (CCDC 1450653; deposit@ccdc.cam.ac.uk или http://www.ccdc.cam.ac.uk/data_request/cif).

Результаты и их обсуждение. В ИК спектре I наблюдается смещение на 52 см⁻¹ в дальневолновую область полосы поглощения, отвечающей валентным колебаниям $v(C=O)$ амид-I, что говорит о координировании молекул Mk атомом Gd через атомы кислорода [15]. Также присутствуют полосы поглощения $v_{s+as}(NOH)$ воды и набор полос поглощения колец Mk. Свободный нитрат-анион как плоский ион (точечная группа D_3) имеет четыре основные колебательные частоты: симметричные валентные колебания $v_s(NO)$ (1050—1060 см⁻¹), несимметричные дважды вырожденные валентные колебания $v_e(NO)$ (1350—1400 см⁻¹) и две частоты деформационных колебаний $\delta(NO_3)$ (810—840 и 710—730 см⁻¹). В ИК спектре обычно активны только три частоты: $v_e(NO)$ и две $\delta(NO_3)$ [16]. При координировании нитрат-аниона его симметрия может понижаться до C_s и C_{2v} . В результате в ИК спектре появляется шесть интенсивных линий в областях (см⁻¹): 970—1040 (полносимметричное колебание); 1550—1410 и 1290—1250 (валентное антисимметричное колебание, проявляющееся в виде двух интенсивных линий); 830—800 (неплоское колебание); 780—700 и ~680 (плоское деформационное колебание, проявляющееся в виде двух полос) [16]. В ИК спектре I присутствуют линии при 1549, 1285, 1026, 824 см⁻¹. Это свидетельствует о том, что нитрат-анионы координированы по бидентатно-хелатному типу.

По данным РСА, соединение I — моногидрат центросимметричного биядерного комплекса катиона гадолиния(III) с двумя молекулами мебикара (связанными центром симметрии), бидентантными нитрат-анионами и молекулой воды (рис. 1). Координационный полиэдр атома металла является девятивершинником, представленнымискаженной трехшапочкой тригональной призмой. Расстояние Gd···Gd в комплексе составляет 6,8697(4) Å.

Практически плоские сопряженные пятичленные гетероциклы мебикара имеют форму "приоткрытой книги". Двугранные углы между плоскостями колец различаются на 0,23(2)°: N(4)C(3)N(2) 112,98(2)° и N(1)C(2)N(3) 113,21(2)°. Незначительное различие наблюдается в величине валентного угла МОС — Gd(1)O(2)C(4) 136,54(1)° и Gd(1)O(1)C(1) 132,88(1)°. Углы ОМО с карбонильными группами лиганда одинаковы — 152,52(5)°. Карбонильные атомы O(1) и O(2) компланарны с циклами и связаны с ними. Расстояния между координированной молекулой воды и катионом гадолиния (Gd(1)—O(12w)) одинаковы и равны 2,3671(14) Å (см. табл. 1).

Рис. 1. Фрагмент атомной структуры I. Термовые эллипсоиды неводородных атомов показаны на уровне 50%-ой вероятности нахождения

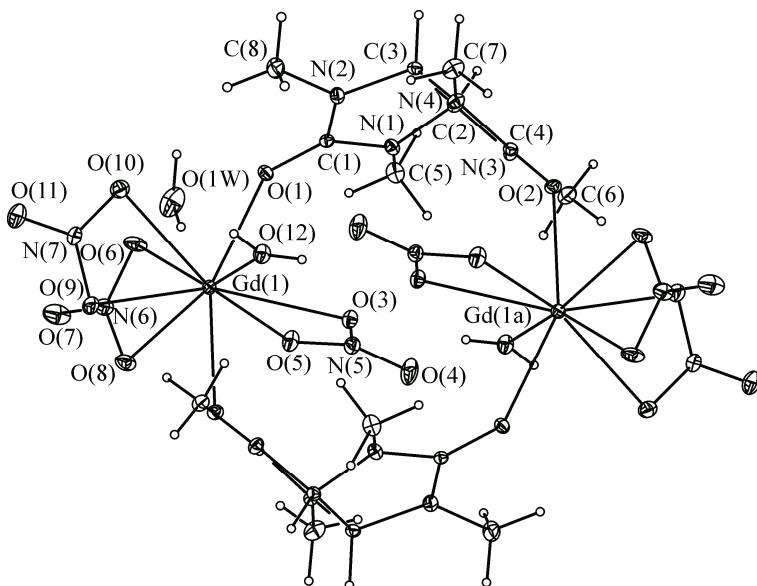
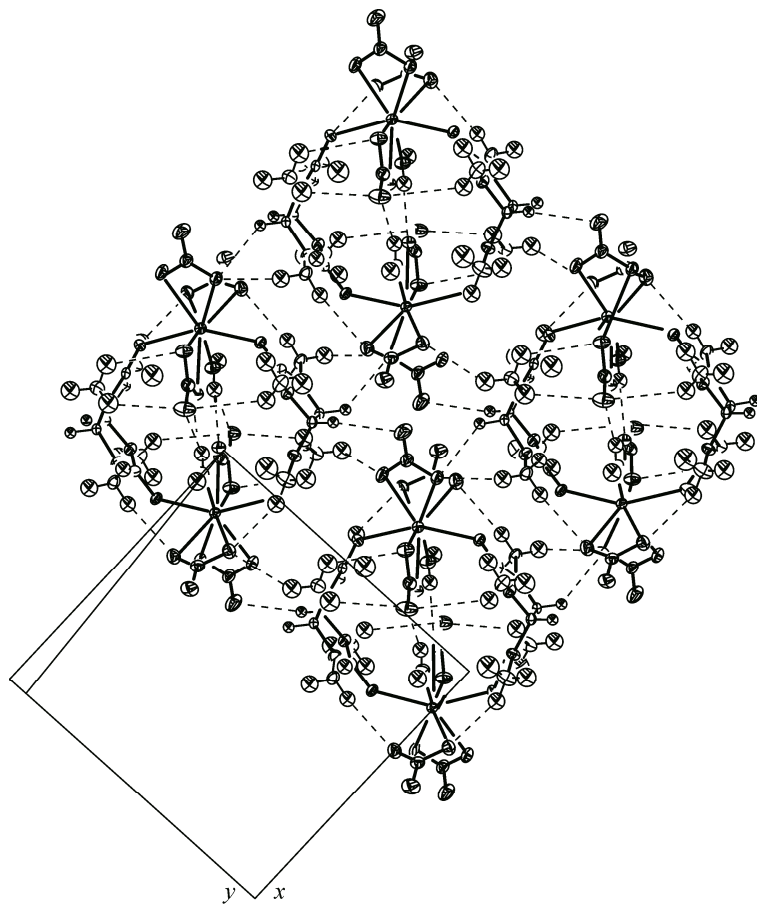


Рис. 2. Фрагмент упаковки кристалла I



Расположение атомов углерода групп $-\text{CH}_3$ по отношению к плоскостям бициклов различно, все радикалы смотрят вовне. Атомы C(6), C(7), C(5) и C(8) отклоняются на довольно значительную величину от плоскостей циклов по отношению к внутренней части бициклов (на 0,113(4), 0,353(4), 0,395(4) и 0,190(4) Å соответственно). Полиэдры атомов азота имеют форму практически правильных треугольников, лежащих в плоскостях бициклов (отклонение $\sim 0,1$ Å).

Таблица 2

Геометрические параметры водородных связей в структуре I*

D—H···A	Расстояние, Å			Угол D—H···A, град.
	D—H	H···A	D···A	
O(1w)—H(1w)···O(11) ⁱ	0,850(2)	2,227(12)	3,059(3)	166(4)
C(6)—H(4)···O(9) ⁱⁱ	0,93(3)	2,63(3)	3,547(3)	169(2)
C(8)—H(10)···O(10)	0,95(3)	2,62(3)	3,514(3)	157(2)
O(12)—H(15)···O(1w)	0,92(3)	1,78(3)	2,696(3)	173(3)

* Симметрично эквивалентные позиции: ⁱ 1—x, -0,5+y, 1,5-z; ⁱⁱ 1—x, 1-y, 1-z.

Связь C(1)—O(1) удлинена до 1,243(3) Å по сравнению со средним значением для подобных мочевинных фрагментов (1,24 Å) [17], а связь C(4)—O(2) до 1,249(2) Å, как вследствие координации атомов кислорода с атомами Gd. Это хорошо согласуется с данными ИК спектроскопии.

В цикле, содержащем атомы N(1) и N(2), фрагменты O—C—N—C неплоские, торсионные углы O(1)C(1)N(1)C(2) и O(1)C(1)N(2)C(3) равны -178,57(2) и 178,82(2)°. В цикле, содержащем атомы N(3) и N(4), торсионные углы O(2)C(4)N(3)C(2) и O(2)C(4)N(4)C(3) равны 178,86(2) и -178,79(2)° соответственно.

В молекуле I наблюдаются внутримолекулярные водородные связи O(12)—H(16)···O(3)ⁱⁱ (H···O 2,17(3) Å, O—H···O 178,(3)°) и O(12)—H(16)···O(4)ⁱⁱ (H···O 2,64(3) Å, O—H···O 128,(3)°) [ii: 1—x, 1—y, 1—z]. Между собой молекулы I и некоординированные молекулы воды (рис. 2), связанные за счет множественных межмолекулярных водородных связей (табл. 2).

Впервые синтезирован моногидрат биядерного комплекса нитрата гадолиния(III) с 2,4,6,8-тетраметил-2,4,6,8-тетраазабицикло(3.3.0)октан-3,7-дионом или мебикаром. Методом РСА установлено, что комплекс I центросимметричен. На основании ИКС и РСА можно сказать, что за счет особенностей строения мебикар реализует бидентатную и мостиковую функции и склонен формировать биядерные комплексы с лантанидами, с координированием через C=O мочевинных фрагментов.

СПИСОК ЛИТЕРАТУРЫ

1. Каримов А.У. // Социальная и клиническая психиатрия. – 2007. – **17**, № 4. – С. 9.
2. Маннанов А.М., Шахабиддинов Т.Т., Хайтов К.Н. // Педиатрия. – 2010. – **89**, № 6. – С. 127.
3. Латышева Л.А., Кравчун П.Г., Шевченко О.С. // Врачебная практика. – 2008. – **61**, № 1. – С. 23.
4. Стаценко М.Е., Спорова О.Е., Шилина Н.Н. и др. // Кардиология и сердечно-сосудистая хирургия. – 2011. – **4**. – С. 41.
5. Скрыпник И.Н., Невойт А.В., Берук О.В. // Вісн. проблем біол. мед. – 2007. – **4**. – С. 151.
6. Федорович С.В., Арсентьевна И.Л. // Аллергология и иммунология. – 2007. – **8**, № 1. – С. 54.
7. Цивадзе А.Ю., Иванова И.С., Киреева И.К. // Неорган. химия. – 1986. – **31**, № 7. – С. 1780.
8. Цивадзе А.Ю., Иванова И.С., Киреева И.К. // Неорган. химия. – 1987. – **32**, № 8. – С. 1876.
9. Ходашова Т.С., Иванова И.С., Киреева И.К. и др. // Неорган. химия. – 1989. – **34**, № 8. – С. 1972.
10. Порай-Кошиц М.А., Цивадзе А.Ю., Иванова И.С. и др. // Координат. химия. – 1985. – **11**, № 9. – С. 1246.
11. Suvorova L.I., Eres'ko V.A., Epishina L.V. // Russ. Chem. Bull. – 1979. – **28**, N 6. – P. 1222.
12. Kravchenko A.N., Sigachev A.S., Maksareva E.Yu. // Russ. Chem. Bul. – 2005. – **54**, N 3. – P. 691.
13. Sheldrick G.M. // Appl. Crystallogr. A. – 2015. – **71**. – P. 3.
14. Farrugia L.J. // Appl. Crystallogr. A. – 1999. – **32**. – P. 837.
15. Григорьев А.И. Введение в колебательную спектроскопию неорганических соединений. – М.: МГУ, 1977.
16. Накамото К. ИК спектры и спектры КР неорганических и координационных соединений. – М.: Мир, 1991.
17. Burgi H.-B., Dunitz J.D. Structure Correlation. Vol. 1. – Weinheim: VCH, 1994.